

# МОДЕЛЬ ПОТТСА НА РЕШЕТКЕ БЕТЕ С НЕМАГНИТНЫМИ ПРИМЕСЯМИ

*C. В. Сёмкин\*, B. П. Смагин*

*Владивостокский государственный университет экономики и сервиса (ВГУЭС)  
690600, Владивосток, Россия*

Поступила в редакцию 17 апреля 2015 г.

Получено решение для модели Поттса на решетке Бете с подвижными немагнитными примесями. Предложен метод построения «псевдохартического» распределения примесей с помощью обращения в нуль корреляции в расположении атомов примеси для ближайших узлов. Для псевдохартического распределения примесей найдены температура фазового перехода, намагниченность и величина скачка спонтанной намагниченности при температуре фазового перехода.

**DOI:** 10.7868/S0044451015100090

## 1. ВВЕДЕНИЕ

Модель Поттса [1] формулируется следующим образом. Рассмотрим некоторую регулярную решетку. Каждому узлу поставим в соответствие величину  $\sigma_i$  («спин»), которая может принимать  $n$  различных значений, скажем  $1, 2, \dots, n$ . Два соседних спина  $\sigma_i$  и  $\sigma_j$  взаимодействуют с энергией  $-J_p\delta(\sigma_i, \sigma_j)$ , где

$$\delta(\sigma_i, \sigma_j) = \begin{cases} 1, & \sigma_i = \sigma_j, \\ 0, & \sigma_i \neq \sigma_j. \end{cases}$$

Пусть есть внешнее поле  $H$ , которое действует на состояние 1. Тогда полная энергия равна

$$E = -J_p \sum_{(i,j)} \delta(\sigma_i, \sigma_j) - H \sum_i \delta(\sigma_i, 1).$$

Допустим, что в некоторых узлах решетки вместо спинов могут быть немагнитные атомы («примеси»). Пусть  $b$  — доля спинов и, соответственно,  $1 - b$  — доля примесей в решетке.

Можно рассматривать два типа примесей — «вмороженные» неподвижные примеси, случайно и без корреляции разбросанные по узлам решетки, и «подвижные» примеси — способные перемещаться по узлам и находящиеся в термодинамическом равновесии с матрицей. Наибольший интерес представляет модель с вмороженными примесями, поскольку

подавляющее большинство магнетиков с примесями относится именно к этому типу. Однако точное решение задачи с вмороженными примесями оказывается невозможным даже для простых решеток. Но оказывается, как будет показано ниже, можно получить точное решение задачи с подвижными примесями на решетке Бете. Это решение, интересное, возможно, и само по себе, позволяет подойти и к анализу поведения системы с вмороженными примесями. Для подвижных примесей можно рассчитать корреляцию (ковариацию) в расположении примесей для соседних узлов решетки. Накладывая условие равенства нулю этой корреляции, получим распределение примесей, которое мы назвали «псевдохартическим». И хотя такое распределение примесей по узлам решетки не является совершенно случайнм, переключательный порог, например, при псевдохартическом распределении на решетке Бете совпадает с порогом для вмороженных примесей. Мы полагаем, что поведение системы с псевдохартическими подвижными примесями является хорошим приближением для магнетика с вмороженными примесями.

Итак, рассмотрим модель Поттса с подвижными примесями. Пусть переменные  $\sigma_i$  могут, кроме значений  $1, 2, \dots, n$ , принимать значения нуль, когда в узле находится немагнитная примесь. Допустим, что силы взаимодействия действуют только между соседними атомами. Тогда вклад в энергию системы от двух соседних узлов можно представить в следующем виде:

\*E-mail: li15@rambler.ru

$$\begin{aligned} E_{ij} = & -J_p \delta(\sigma_i, \sigma_j) - (U_{11} - J_p) \delta(0, \sigma_j) \delta(\sigma_i, 0) - \\ & - U_{12} \{ \delta(\sigma_i, 0) (1 - \delta(0, \sigma_j)) + \delta(0, \sigma_j) (1 - \delta(\sigma_i, 0)) \} - \\ & - U_{22} (1 - \delta(0, \sigma_j)) (1 - \delta(\sigma_i, 0)). \end{aligned}$$

Здесь  $U_{11}$  — энергия взаимодействия двух соседних атомов примеси,  $U_{12}$  — энергия взаимодействия атома примеси и магнитного атома и  $U_{22}$  — энергия взаимодействия двух магнитных атомов.

Большая статистическая сумма системы имеет следующий вид:

$$Z = \Sigma \exp \{ K \Sigma_{(i,j)} \varphi(\sigma_i, \sigma_j) + h \Sigma_i \delta(\sigma_i, 1) + x \Sigma_i \delta(\sigma_i, 0) \}, \quad (1)$$

где  $K = J_p/kT$ ,  $h = H/kT$ ,  $x = \mu/kT$  ( $\mu$  — химический потенциал),

$$\varphi(\sigma_i, \sigma_j) = \delta(\sigma_i, \sigma_j) + (\gamma - 1) \delta(0, \sigma_j) \delta(\sigma_i, 0),$$

$$\gamma = \frac{U}{J_p}, \quad U = U_{11} - 2U_{12} + U_{22}.$$

## 2. РЕШЕНИЕ ДЛЯ РЕШЕТКИ БЕТЕ

Решетку Бете построим следующим образом. Рассмотрим два соседних узла со значениями спиновых переменных  $\sigma_1$  и  $\sigma_2$ . Присоединим к каждому узлу  $q - 1$  внешних соседей (узлы первой оболочки). К каждому узлу первой оболочки снова присоединим  $q - 1$  узлов второй оболочки и продолжим этот процесс  $N$  раз. В результате получим так называемое дерево Кейли; решетка Бете — это внутренняя (далекая от граничных узлов) часть дерева Кейли при  $N \rightarrow \infty$ . Для вычисления статистической суммы (1) на решетке Бете воспользуемся приемом, аналогичным использованному в работе [1] для модели Изинга. Большая статистическая сумма (1) является суммой по всем возможным спиновым конфигурациям  $\{\sigma\}$ :

$$Z = \Sigma_{\{\sigma\}} P(\sigma);$$

$$\begin{aligned} P(\sigma) = & \Sigma \exp \{ K \Sigma_{(i,j)} \varphi(\sigma_i, \sigma_j) + \\ & + h \Sigma_i \delta(\sigma_i, 1) + x \Sigma_i \delta(\sigma_i, 0) \}. \end{aligned}$$

Выделяя в этом выражении члены, содержащие  $\sigma_1$  и  $\sigma_2$ , запишем его в следующем виде:

$$P(\sigma) = e^{\psi(\sigma_1, \sigma_2)} \Pi_{j=1}^{q-1} Q_N \left( \sigma_1 | s_1^{(j)} \right) \Pi_{l=1}^{q-1} Q_N \left( \sigma_2 | s_2^{(l)} \right),$$

где

$$\begin{aligned} \psi(\sigma_1, \sigma_2) = & K \varphi(\sigma_1, \sigma_2) + \\ & + h (\delta(\sigma_1, 1) + \delta(\sigma_2, 1)) + x (\delta(\sigma_1, 0) + \delta(\sigma_2, 0)), \end{aligned}$$

$s_1^{(j)}$  и  $s_2^{(l)}$  обозначают соответственно совокупности спинов на  $j$ -й и  $l$ -й ветвях узлов 1 и 2.

Обозначив  $G_N(\sigma) = \Sigma_{\{\sigma\}} Q_N(\sigma | s)$  запишем статистическую сумму в следующем виде:

$$Z_N = \Sigma_{\sigma_1, \sigma_2} e^{\psi(\sigma_1, \sigma_2)} G_N^{q-1}(\sigma_1) G_N^{q-1}(\sigma_2). \quad (2)$$

С помощью (2) можно теперь найти вероятность  $p_i$  того, что спин  $\sigma_1$  примет значение  $i$  (вероятности соответствующих значений переменной  $\sigma_2$  будут, в силу симметрии, точно такими же):

$$\begin{aligned} p_i = & \frac{1}{Z_N} \Sigma_{\sigma_1, \sigma_2} \frac{1}{2} (\delta(\sigma_1, i) + \delta(\sigma_2, i)) \times \\ & \times e^{\psi(\sigma_1, \sigma_2)} G_N^{q-1}(\sigma_1) G_N^{q-1}(\sigma_2). \end{aligned} \quad (3)$$

В соответствии со сказанным выше, концентрация магнитных атомов в решетке  $b = 1 - p_0$ . Ковариацию расположения примесей в узлах 1 и 2 вычислим так:

$$\begin{aligned} g_{12} = & \frac{1}{Z} \Sigma_{\sigma_1, \sigma_2} \delta(\sigma_1, 0) \delta(\sigma_2, 0) e^{\psi(\sigma_1, \sigma_2)} \times \\ & \times G_N^{q-1}(\sigma_1) G_N^{q-1}(\sigma_2) - p_0^2. \end{aligned} \quad (4)$$

Для функций  $G_N(\sigma)$  можно построить рекуррентные соотношения, представив  $Q_N(\sigma | s)$  в виде

$$\begin{aligned} Q_N(\sigma | s) = & \exp \{ K \varphi(\sigma, s_1) + h \delta(s_1, 1) + x \delta(s_1, 0) \} \times \\ & \times \Pi_{j=1}^{q-1} Q_{N-1}(s_1 | t^{(j)}), \end{aligned}$$

где  $s_1$  — один из спинов первой оболочки, а  $t^{(j)}$  — совокупность спинов одной из отходящих от него ветвей. Суммируя это выражение по совокупности спинов  $s$ , получим

$$\begin{aligned} G_N(\sigma) = & \Sigma_{s_1} \exp \{ K \varphi(\sigma, s_1) + \\ & + h \delta(s_1, 1) + x \delta(s_1, 0) \} G_{N-1}^{q-1}(s_1). \end{aligned} \quad (5)$$

Поскольку в дальнейшем мы собираемся перейти к термодинамическому пределу ( $N \rightarrow \infty$ ), вместо функций  $G_N(\sigma)$  введем отношения  $y_{i,N} = G_N(i)/G_N(1)$ . Из формулы (5) можно получить рекуррентные соотношения, выражающие  $y_{i,k}$  через  $y_{i,k-1}$  (очевидно, что  $y_{i,0} = 1$ ), а из (3) и (4) получим выражения для  $p_i$  и  $g_{12}$  через  $y_{i,N}$ .

Будем искать решение, в котором все  $p_i$  для  $i > 1$  равны между собой;  $y_{i,k}$  при  $i > 1$  обозначим просто  $y_k$  и, кроме того, введем обозначение  $t_k = e^x y_{0,k}^{q-1}$ . Тогда из (3) и (4) получим

$$p_1 = \frac{1}{Z_N} \left( e^{K+2h} + t_N e^h + (n-1) e^h y_N^{q-1} \right), \quad (6)$$

$$1 - b = \frac{1}{Z_N} \left( t_N^2 e^{K\gamma} + t_N e^h + (n-1) t_N y_N^{q-1} \right), \quad (7)$$

$$g_{12} = \frac{t_N^2 e^{K\gamma}}{\tilde{Z}_N} - (1-b)^2, \quad (8)$$

где  $\tilde{Z}_N = Z_N / G_N^{2(q-1)}(1)$ ,

$$\begin{aligned} \tilde{Z}_N &= t_N^2 e^{K\gamma} + e^{K+2h} + 2t_N e^h + \\ &+ (n-1) y_N^{q-1} \left( 2t_N + 2e^h + e^K y_N^{q-1} + (n-2) y_N^{q-1} \right). \end{aligned} \quad (9)$$

Из (5) получим рекуррентные соотношения

$$y_{0,N} = \frac{e^{\gamma K} t_{N-1} + e^h + (n-1) y_{N-1}^{q-1}}{t_{N-1} + e^{K+h} + (n-1) y_{N-1}^{q-1}}, \quad (10)$$

$$y_N = \frac{t_{N-1} + e^h + (e^K + (n-2)) y_{N-1}^{q-1}}{t_{N-1} + e^{K+h} + (n-1) y_{N-1}^{q-1}}. \quad (11)$$

Рассмотрим выражения (6)–(11) в термодинамическом пределе ( $N \rightarrow \infty$ ). В этом пределе  $y_{0,N} \rightarrow y_0$ ,  $y_N \rightarrow y$ ,  $t_N \rightarrow t$  и  $Z_N \rightarrow Z$ . Теперь, в соответствии со сказанным выше, возьмем такую величину  $\gamma$ , чтобы  $g_{12}$  обратилось бы в нуль. Соответствующую величину  $\gamma$  будем обозначать  $\gamma_0$ . Тогда из (7) и (8) получим

$$1 - b = \frac{te^{K\gamma_0}}{te^{K\gamma_0} + e^h + (n-1)y^{q-1}}.$$

Отсюда

$$e^{K\gamma_0} = \frac{1-b}{bt} (e^h + (n-1)y^{q-1}). \quad (12)$$

Подставив это выражение в (8), получим

$$t = \frac{1-b}{b} \times \frac{e^{K+2h} + (n-1)y^{q-1} (2e^h + y^{q-1}(e^K + n-2))}{e^h + (n-1)y^{q-1}}, \quad (13)$$

из (6)

$$p_1 = \frac{1}{\tilde{Z}_0} (e^{K+2h} + te^h + (n-1)e^h y^{q-1}); \quad (14)$$

$$\begin{aligned} \tilde{Z}_0 &= t \frac{1+b}{b} (e^h + (n-1)y^{q-1}) + \\ &+ [e^{K+2h} + (n-1)y^{q-1} (2e^h + y^{q-1}(e^K + n-2))] \end{aligned}$$

или

$$p_1 = b^2 \times \frac{e^{K+2h} + te^h + (n-1)e^h y^{q-1}}{e^{K+2h} + (n-1)y^{q-1} (2e^h + y^{q-1}(e^K + n-2))}. \quad (15)$$

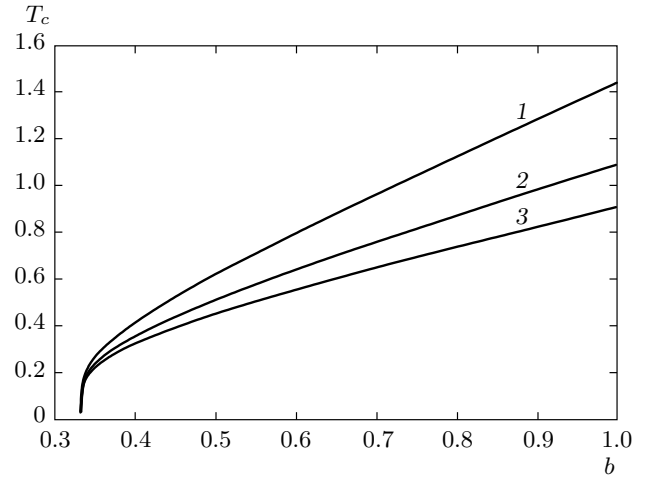


Рис. 1. Зависимость температуры Кюри от концентрации магнитных атомов при  $q = 4$ . Кривая 1 —  $n = 2$  (модель Изинга), кривая 2 —  $n = 3$  и кривая 3 —  $n = 4$

Кроме того, из рекуррентного соотношения (11) получим при  $N \rightarrow \infty$

$$y = \frac{t + e^h + (e^K + (n-2)) y^{q-1}}{t + e^{K+h} + (n-1) y^{q-1}}. \quad (16)$$

Формулы (13)–(16) представляют собой решение задачи о нахождении величин, характеризующих состояние поттсовского магнетика в зависимости от температуры, внешнего поля и концентрации атомов примеси в случае псевдохаотического распределения последних. Кроме того, эти формулы позволяют найти температуру фазового перехода  $K_c(b) = J_p/kT_c(b)$  в зависимости от концентрации магнитных атомов.

Анализ выражений (13)–(16) показывает, что при  $K < K_c(b)$  и  $h = 0$  единственным устойчивым решением (16) является  $y = 1$  и  $p_1 = b/n$  (из (15)). При  $K = K_c(b)$  происходит (при  $n > 2$ ) скачкообразное увеличение вероятности  $p_1$  (фазовый переход первого рода). Найдем из выражений (13) и (16) температуру фазового перехода. При  $K = K_c$  производная по  $y$  правой части (16) должна быть равна единице при  $y = 1$  (если эта производная больше единицы, то решение  $y = 1$  становится неустойчивым). Взяв производную (16) (используя (13) для определения  $t(y)$ ), получим

$$K_c(b) = \ln \frac{n-1+(q-1)b}{(q-1)b-1}. \quad (17)$$

При  $b = 1$ , т. е. для модели Поттса без примесей, (17) совпадает с критической температурой моде-

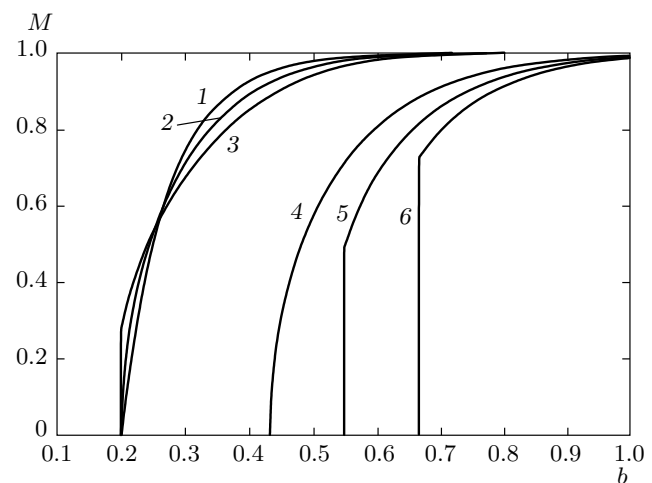
ли Поттса на решетке Бете, приведенной в работе [2]. При  $n = 2$  (в этом случае модель Поттса эквивалентна модели Изинга) из (17) получается тот же результат, который приведен в работе [3]. На рис. 1 приведены графики критической температуры  $T_c(b) = 1/K_c(b)$  для  $q = 4$  и  $n = 2, 3, 4$  (соответственно кривые 1, 2 и 3). Видно, что  $T_c(b)$  имеют бесконечную производную при  $b = b_c$  и практически линейно зависят от  $b$  вблизи  $b = 1$ , что соответствует известным свойствам зависимости критической температуры от концентрации магнитных атомов [4]. Кроме того, из (17) видно, что при произвольном  $n$  критическая температура обращается в нуль при концентрации, совпадающей с порогом протекания решетки Бете ( $b_c = 1/(q - 1)$ ), в этом смысле псевдохаотическое распределение примесей ведет себя как истинно хаотическое [5, 6]. Различие между этими распределениями можно проиллюстрировать, вычислив вероятность того, что взятый наугад магнитный атом принадлежит бесконечному кластеру магнитных атомов. Если определить намагниченность для модели Поттса с  $n$  состояниями аналогично [7],

$$M = \frac{np_1 - b}{b(n - 1)},$$

то нетрудно показать, что вероятность для магнитного атома принадлежать бесконечному кластеру есть намагниченность  $M$  при  $T = 0$  и  $h = 0$ . Переходя в (13), (15) и (16) к пределу  $K \rightarrow \infty$ , получим

$$\begin{aligned} M_0(y) &= \frac{1}{(s - 1)} \times \\ &\times \left( \left( \frac{1 - b(y)}{1 + (s - 1)y^{q-1}} + \frac{b(y)}{1 + (s - 1)y^{2(q-1)}} \right) s - 1 \right)^{-1}, \\ b(y) &= \left( 1 + \frac{1 + (n - 1)y^{q-1}}{1 + (n - 1)y^{2(q-1)}} \sum_{i=1}^{q-2} y^i \right)^{-1}, \\ &0 < y < 1. \end{aligned}$$

Эти выражения определяют в параметрическом виде зависимость  $M_0(b)$ . На рис. 2 приведены графики  $M_0(b)$  для  $n = 2$  (кривая 2) и  $n = 4$  (кривая 3). На этом же рисунке приведена функция  $P(b)$  (кривая 1), определяющая вероятность для магнитного атома принадлежать бесконечному кластеру при хаотическом распределении атомов примеси по узлам решетки Бете. (Эта вероятность находится по формулам [4]  $P(b) = 1 - s^q$ ,  $\sum_{i=0}^{q-2} s^i = 1/b$ .) Видно, что хотя функции  $M_0(b)$  и  $P(b)$  достаточно близки, при любом  $n$  эти функции обращаются в нуль при одном и том же значении  $b_c = 1/(q - 1)$ , что соответствует перколяционному порогу для решетки Бете, между ними есть все же некоторое различие.



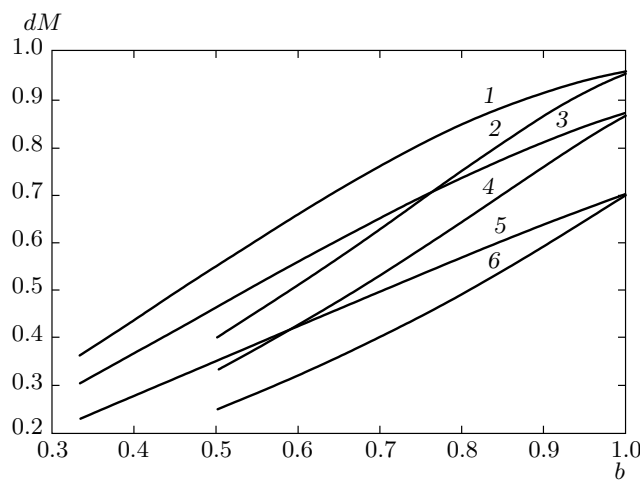
**Рис. 2.** Концентрационная зависимость спонтанной намагниченности. По горизонтальной оси — концентрация магнитных атомов  $b$ , по вертикальной — намагниченность. Кривая 1 — вероятность для магнитного атома принадлежать бесконечному кластеру в решетке Бете со случайным разбавлением, кривые 2 и 3 — намагниченность при нулевой температуре в модели Поттса с псевдохаотическим распределением соответственно при  $n = 2$  и  $n = 3$ . Кривые 4, 5 и 6 — намагниченность при  $K = 1$  соответственно для  $n = 2$ ,  $n = 3$  и  $n = 4$

На рис. 2 показана также и намагниченность при конечной температуре ( $K = 1$ ) как функция концентрации магнитных атомов для  $n = 2$  (кривая 4),  $n = 3$  (кривая 5) и  $n = 4$  (кривая 6). Видно, что при  $n = 2$  (модель Изинга) фазовый переход является переходом второго рода, а при  $n > 2$  — первого рода. Как следует из формулы (17), значение концентрации  $b_0(K)$ , при котором возникает спонтанная намагниченность при конечном  $K$ , определяется выражением

$$b_0(K) = b_c \frac{1 + (n - 1)e^{-K}}{1 - e^{-K}}. \quad (18)$$

Видно, что  $b_0(K)$  растет с ростом  $n$  и при любом  $n$  больше  $b_c$ . При  $K \rightarrow \infty$ ,  $b_0(K) \rightarrow b_c$  для любого  $n > 1$ .

На рис. 3 показана зависимость величины скачка намагниченности  $M$  при фазовом переходе в зависимости от концентрации магнитных атомов для различных координационных чисел решетки  $q$  и числа спиновых состояний  $n$ . Следует отметить, что температура фазового перехода (17) сама по себе зависит от концентрации магнитных атомов  $b$ , поэтому для каждой кривой на рис. 3 ее различные точки соответствуют разным



**Рис. 3.** Зависимость от концентрации скачка намагниченности при фазовом переходе в модели Поттса с псевдохаотическими примесями. По горизонтальной оси — концентрация магнитных атомов  $b$ , по вертикальной — величина скачка намагниченности  $dM$ . Кривые 1, 3 и 5 построены для координационного числа  $q = 4$ , а кривые 2, 4 и 6 — для  $q = 3$ . Число состояний  $n = 6$  для кривых 1 и 2,  $n = 4$  для кривых 3 и 4 и  $n = 3$  для кривых 5 и 6

температурам. Видно, что величина скачка для всех значений параметров монотонно убывает с уменьшением концентрации  $b$  до некоторого ненулевого значения при  $b = b_c$ . При фиксированном  $b$  величина скачка растет с ростом  $n$  при посто-

янном  $q$  и с ростом  $q$  при постоянном  $n$ . Зависимость величины скачка от координационного числа решетки  $q$  (при одинаковом  $n$ ) слабо выражена для чистого магнетика ( $b = 1$ ), но становится более заметной при  $b < 1$ .

Работа выполнена при финансовой поддержке Министерства образования и науки РФ по заданию № 2014/292 на выполнение государственных работ в сфере научной деятельности в рамках базовой части государственного задания.

## ЛИТЕРАТУРА

1. Р. Бэкстер, *Точно решаемые модели в статистической механике*, Мир, Москва (1985).
2. F. Y. Wu, Rev. Mod. Phys. **54**, 235 (1982).
3. С. В. Сёмкин, В. П. Смагин, ФТТ **56**, 1064 (2014).
4. T. Kaneyoshi, Physica A **218**, 46 (1995).
5. Дж. Займан, *Модели беспорядка. Теоретическая физика однородно неупорядоченных систем*, Мир, Москва (1982).
6. С. В. Сёмкин, В. П. Смагин, Изв. ВУЗов, сер. физ. **57**, 54 (2014).
7. А. К. Муртазаев, А. Б. Бабаев, Г. Я. Азнаурова, ФТТ **50**, 703 (2008).